

東北新幹線上野地下駅における地下連続壁の測定結果について
(その2; 堀削面側の側圧)

国鉄 東京第一工事局

正員

強崎 薫

同 上

正員

伊藤 博

パシフィック・C

正員

中村次

3.1 まえがき

堀削面側の側圧は 堀削に伴う上載土の減少、地下水位の低下、土留め壁の変形による抵抗土圧の発生、受動土圧に達することによる降伏などにより増減し 一般には複雑な動きをすることが予想される。文献1)によると軟弱な粘性土地盤では 堀削面側の側圧は堀削底面に近づくにつれて徐々に減少し ランキン・レザールの受動側圧線に達するとそれ以後ではこの線に沿って減少していくことが報告されている。一方、砂層や硬質な粘性土層については 土圧を測定すること自体が難しいこともあり 信頼性のあるデータに乏しいのが現状であろう。

本報告は、上野地下駅現場の比較的硬質な洪積砂層、砂利層、粘性土層について堀削面側の側圧についても測定を行ってきたので この結果について報告するものである。砂層、砂利層については有効土圧(P'_e)で粘性土層については全土圧(P_e)で整理し、ここでは 各堀削段階における堀削底面よりの深さ(Z)と P'_e あるいは P_e との関係について述べる。

3.2 砂 層

図-1、2に砂層の堀削面側有効土圧 P'_e についてそれぞれ示す。図中実線で結ばれているのは同一の土圧計による測定値であり 堀削底面に近づくにつれての測定値の変化の軌跡を表わしている。両図より 砂層においては P'_e はかなり早い段階から増加し始めることがうかがえる。この例では 堀削底面以下10~15mの位置より増加し始めており 5m以内になると更に大きく変化するものが多くなる。一方、堀削底面の極く近傍まで掘り出されたものは値が大きく減少し 受動土圧に達してしまったものと考えられる。 $\gamma=1.8 \text{ kN/m}^3$, $\phi=37^\circ$ とした場合の7-ロンの受動土圧($S=0^\circ$ と $S=2/3\phi$)を図中に示す。当現場の砂層の堀削面側の土圧は $S=0^\circ$ の場合の受動土圧線を上回り、 $S=2/3\phi$ の場合の受動土圧線との間にまで到達していることが認められる。

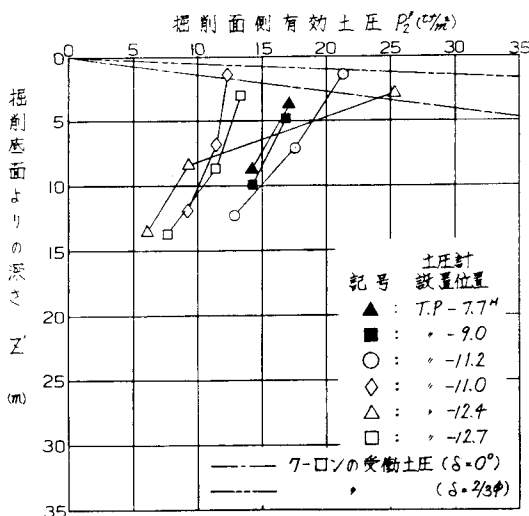


図-1 砂層の有効土圧の変化 (A1パネル)

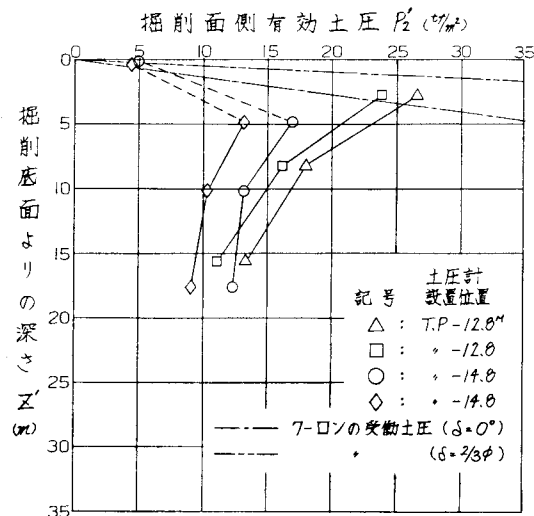


図-2 砂層の有効土圧の変化 (C2パネル)

3.3 砂レキ層

図-3に砂レキ層の掘削面側有效土圧 P'_2 を示す。同図より 砂レキ層においては掘削開始当初は P'_2 は減少しているが、掘削底面以下20~25mに達すると増加に転じており、相当深い位置にある時から掘削の影響があらわれていることがうかがえる。 $\gamma_0=2.0\text{ kN/m}^3$, $\phi=40^\circ$ とした場合のクーロンの受働土圧($\delta=0^\circ$ と $\delta=2/3\phi$)を図中に示す。これより、当現場の砂レキ層では、掘削面側の土圧は $\delta=2/3\phi$ の受働土圧線かもしくはこれを幾分上回る値にまで達していることが認められる。

3.4 粘性土層

図-4, 5に粘性土層の掘削面側土圧 P'_2 についてそれぞれ示す。両図より 粘性土層においては他の砂層、砂レキ層の場合と異なり、深い位置にある場合は掘削と共に側圧は徐々に減少するかまたは一定の傾向を示し、掘削底面以下5~10mに達すると急に側圧は増大し、掘削底面の極く近傍まで掘り出されてもなお大きな抵抗側圧を発揮していることが認められる。 $\gamma_0=1.6\text{ kN/m}^3$, $C=21\text{ kN}$, $\phi=0^\circ$ とした場合の受働土圧は、掘削底面位置($Z'=0\text{ m}$)でも 42 kPa となる。今回測定された側圧は、すべてこの値以下となっており、降伏にはいたっていないものと考えられる。

3.5 まとめ

上野地下駅現場の測定結果を見ると、このようないわば硬質な地盤では土圧計が掘削面に近づくと急に大きな値を示すようになり、掘削底面近傍の狭い範囲で抵抗していることが認められ、これは軟弱地盤の測定結果と大きく異なる点である。全体としてみると、このようないわば地盤では掘削面側にはほぼ弾性的に挙動している。そこで水平地盤係数についても検討を進め、その結果についても報告したい。

(参考文献)

1) 柳田他; 掘削土留工の設計用側圧に関する研究(その2)

第16回国土質工学研究発表会 1981

2) 柳田他; 大規模掘削における山留め壁の諸測定結果

第17回国土質工学研究発表会 1982

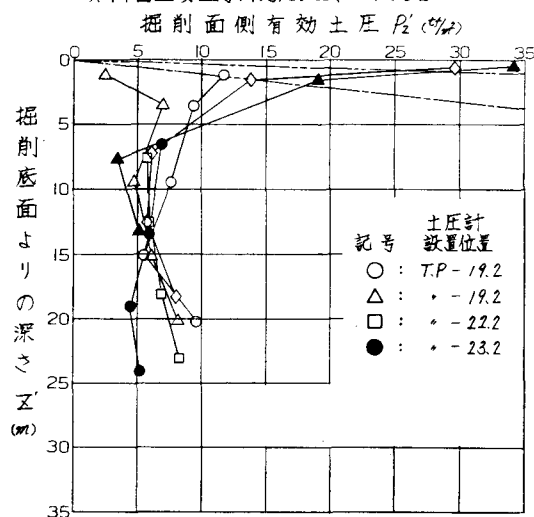


図-4 粘性土層の側圧の変化 (A1パネル)

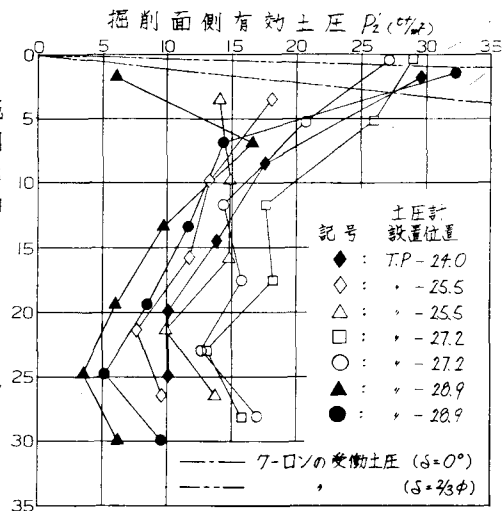


図-3 砂レキ層の有効土圧の変化 (B1パネル)

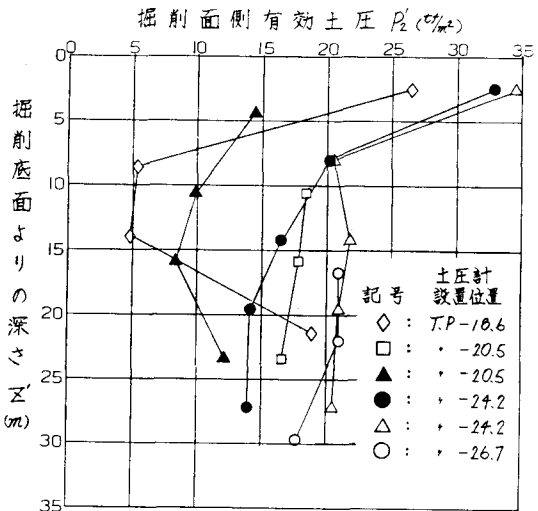


図-5 粘性土層の側圧の変化 (C21パネル)